



Arora V Hardened MIPI D-PHY

用户指南

UG296-1.0, 2023-09-28

版权所有 © 2023 广东高云半导体科技股份有限公司

GOWIN高云, Gowin、云源、高云均为广东高云半导体科技股份有限公司注册商标, 本手册中提到的其他任何商标, 其所有权利属其拥有者所有。未经本公司书面许可, 任何单位和个人都不得擅自摘抄、复制、翻译本文档内容的部分或全部, 并不得以任何形式传播。

免责声明

本文档并未授予任何知识产权的许可, 并未以明示或暗示, 或以禁止发言或其它方式授予任何知识产权许可。除高云半导体在其产品的销售条款和条件中声明的责任之外, 高云半导体概不承担任何法律或非法律责任。高云半导体对高云半导体产品的销售和 / 或使用不作任何明示或暗示的担保, 包括对产品的特定用途适用性、适销性或对任何专利权、版权或其它知识产权的侵权责任等, 均不作担保。高云半导体对文档中包含的文字、图片及其它内容的准确性和完整性不承担任何法律或非法律责任, 高云半导体保留修改文档中任何内容的权利, 恕不另行通知。高云半导体不承诺对这些文档进行适时的更新。

版本信息

日期	版本	说明
2023/09/28	1.0	初始版本。

目录

目录	iv
图目录	vi
表目录	vii
1 关于本手册	1
1.1 手册内容	1
1.2 相关文档	1
1.3 术语、缩略语	2
1.4 技术支持与反馈	2
2 概述	3
2.1 特性	3
2.2 功能描述	4
2.2.1 MIPI D-PHY RX	4
2.2.2 MIPI D-PHY TX	5
3 MIPI D-PHY 原语	6
3.1 MIPI D-PHY	6
3.1.1 端口介绍	6
3.1.2 参数介绍	13
3.1.3 原语例化	14
3.2 MIPI D-PHY RX	24
3.2.1 端口介绍	24
4 IP 的调用	27
4.1 MIPI D-PHY TX IP	27
4.1.1 端口介绍	27
4.1.2 典型时序	29
4.1.3 配置说明	30

4.2 MIPI D-PHY RX IP	32
4.2.1 端口介绍	32
4.2.2 典型时序	33
4.2.3 配置说明	34
附录 A MIPI D-PHY 速率表	36

图目录

图 2-1 MIPI D-PHY RX 结构示意图	4
图 2-2 MIPI D-PHY TX 结构示意图	5
图 4-1 MIPI D-PHY TX 典型时序	29
图 4-2 MIPI D-PHY 配置页面 (TX)	30
图 4-3 MIPI D-PHY RX 典型时序	33
图 4-4 MIPI D-PHY 配置页面 (RX)	34

表目录

表 1-1 术语、缩略语	2
表 3-1 MIPI D-PHY 端口介绍	6
表 3-2 MIPI D-PHY 参数介绍	13
表 3-3 MIPI D-PHY RX 端口介绍	24
表 4-1 MIPI D-PHY TX IP 顶层端口	27
表 4-2 MIPI D-PHY RX IP 顶层端口	32
表 A-1 MIPI D-PHY 速率 (晨熙® (Arora)家族)	37

1 关于本手册

1.1 手册内容

Arora V MIPI D-PHY 用户指南主要内容包括功能特点、端口描述、配置调用等，主要用于帮助用户快速了解 Arora V MIPI D-PHY 的特性及使用方法。

1.2 相关文档

通过登录高云半导体网站 www.gowinsemi.com.cn 可以下载、查看以下相关文档：

- [DS981, GW5AT 系列 FPGA 产品数据手册](#)
- [DS1103, GW5A 系列 FPGA 产品数据手册](#)
- [DS1104, GW5AST 系列 FPGA 产品数据手册](#)
- [DS1114, GW5AS-138 器件数据手册](#)
- [DS1108, GW5AR 系列 FPGA 产品数据手册](#)
- [DS1113, GW5A 系列 FPGA 产品\(车规级\)数据手册](#)
- [DS1111, GW5AT 系列 FPGA 产品\(车规级\)数据手册](#)

1.3 术语、缩略语

表 1-1 中列出了本手册中出现的相关术语、缩略语及相关释义。

表 1-1 术语、缩略语

术语、缩略语	全称	含义
CSI	Camera Serial Interface	串行摄像头接口
DSI	Display Serial Interface	串行显示接口
HS	High Speed	高速
I/O	Input/output	输入/输出
LP	Low Power	低功耗
MIPI	Mobile Industry Processor Interface	移动行业处理器接口

1.4 技术支持与反馈

高云半导体提供全方位技术支持，在使用过程中如有任何疑问或建议，可直接与公司联系：

网址：www.gowinsemi.com.cn

E-mail: support@gowinsemi.com

Tel: +86 755 8262 0391

2 概述

Arora V 器件包含硬核 MIPI D-PHY RX、MIPI D-PHY TX^[1]，支持标准《MIPI Alliance Standard for D-PHY Specification》，版本 2.1。该 D-PHY 适用于串行显示接口（Display Serial Interface, DSI）和串行摄像头接口（Camera Serial Interface, CSI-2）。

注！

[1]目前高云 138K 器件仅支持 MIPI D-PHY RX，25K 器件支持 MIPI D-PHY RX 及 MIPI D-PHY TX。

2.1 特性

MIPI D-PHY 主要特性如下：

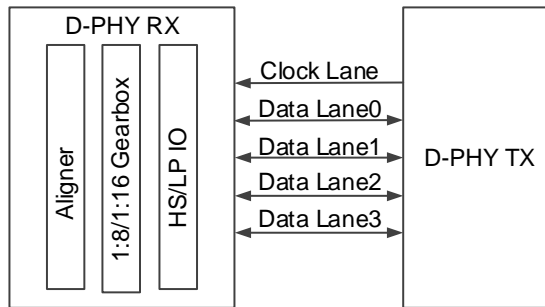
- 支持单向高速(HS, High-speed)模式，单通道数据速率最高可达 2.5 Gbps，单组最高支持 10 Gbps（4 路数据通道），单芯片支持最高 20 Gbps（8 路数据通道）。
- 最多支持 2 组 MIPI D-PHY，每组最多 4 个数据通道和一个时钟通道。
- 支持双向低功耗(LP, Low-power)操作模式，数据传输速率为 10 Mbps。
- 支持高速同步，通道内位对齐（Word Alignment）和通道间字对齐（Lane Alignment）。
- MIPI D-PHY RX 支持 1:8 模式与 1:16 模式。
- MIPI D-PHY TX 支持 8:1 模式与 16:1 模式。
- 支持 MIPI DSI 和 MIPI CSI-2 链路层。
- 硬核 MIPI D-PHY 有专用的 MIPI Bank。
- GW5AT-138 器件支持 2 组 MIPI D-PHY RX；
- GW5A-25 器件支持 1 组 MIPI D-PHY，RX 和 TX 可配。

2.2 功能描述

2.2.1 MIPI D-PHY RX

MIPI D-PHY RX 主要包含 HS/LP IO, 1:8/1:16 Gearbox 及 Aligner 三部分, 结构示意图如图 2-1 所示。

图 2-1 MIPI D-PHY RX 结构示意图



HS/LP I/O

支持 ODT 动态切换, 支持 LP TX/RX, HS RX 动态切换。

1:8/1:16 Gearbox

支持 8 bits 或者 16 bits 位宽模式, 原语例化可以通过参数 HS_8BIT_MODE 配置, IP 封装可通过 “MIPI D-PHY Mode” 选项选择。

Aligner

支持 Word align 和 Lane align, 都通过 MIPI_DPHY_RX 端口 WALIGN_BY 和 LALIGN_EN 配置是否使能。其中 Word align 的 key 可以由用户自定义 (ALIGN_BYTE), 且支持 2 bytes 和 3 bytes 模式, 通过 MIPI_DPHY_RX 端口 ONE_BYTE0_MATCH 配置。

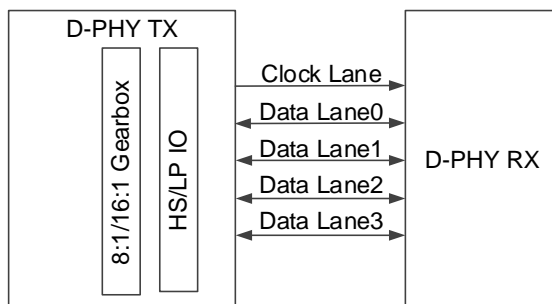
Note!

MIPI_DPHY_RX 端口介绍请参考 3 MIPI D-PHY 原语 > 3.1.1 端口介绍, 或 4.2 MIPI D-PHY RX IP > 4.2.1 端口介绍。

2.2.2 MIPI D-PHY TX

MIPI D-PHY TX 主要包含 HS/LP IO, 8:1/16:1 Gearbox 部分, 结构示意图如图 2-1 所示。

图 2-2 MIPI D-PHY TX 结构示意图



HS/LP I/O

支持 LP TX/RX, HS TX 动态切换。

8:1/16:1 Gearbox

支持 8 bits 或者 16 bits 位宽模式, 可以通过 HS_8BIT_MODE 配置

Note!

MIPI_DPHY_TX 端口介绍请参考 3. MIPI D-PHY 原语 > 3.1.1 端口介绍。

3 MIPI D-PHY 原语

3.1 MIPI D-PHY

3.1.1 端口介绍

表 3-1 MIPI D-PHY 端口介绍

端口	I/O	描述
MIPI INTERFACE Signals		
CK_N	inout	CK Lane Complement Input
CK_P	inout	CK Lane True Input
D<0~3>_N	inout	Data Lane <0~3> Complement Input
D<0~3>_P	inout	Data Lane <0~3> True Input
RESET Signals		
RESET	input	Reset signal: 1'b1: reset all;
RX_DRST_N	input	RX digital reset, active low
TX_DRST_N	input	TX digital reset, active low
PWRON_RX	input	HSRX Power On Control: <ul style="list-style-type: none"> ● 1'b1: HSRX on ● 1'b0: HSRX off to standby in low power state
PWRON_TX	input	HSTX Power On Control: <ul style="list-style-type: none"> ● 1'b1: HSTX on ● 1'b0: HSTX off to standby in low power state
HSRX_STOP	input	HSRX Clock Stop Signal for synchronization
WALIGN_DVLD	input	word aligner input data valid from the fabric
CLOCK Signals		
CK0	input	HSTX: ck0

端口	I/O	描述
CK90	input	HSTX: ck90
CK180	input	HSTX: ck180
CK270	input	HSTX: ck270
RX_CLK_O	output	HSRX output 1X clock, max 93.75MHz@1.5Gbps
TX_CLK_O	output	HSTX output 1X clock, max 93.75MHz@1.5Gbps
RX_CLK_1X	input	1X clock from fabric, max 93.75MHz@1.5Gbps
TX_CLK_1X	input	1X clock from fabric, max 93.75MHz@1.5Gbps
HSRX Signals		
D0LN_HSRXD	output	data lane0 HS data output to fabric 1:8 Mode: Data Width=8 1:16Mode: Data Width=16
D1LN_HSRXD	output	data lane1 HS data output to fabric 1:8 Mode: Data Width=8 1:16Mode: Data Width=16
D2LN_HSRXD	output	data lane2 HS data output to fabric 1:8 Mode: Data Width=8 1:16Mode: Data Width=16
D3LN_HSRXD	output	data lane3 HS data output to fabric 1:8 Mode: Data Width=8 1:16Mode: Data Width=16
D0LN_HSRXD_VLD	output	data lane0 HS data output valid to fabric
D1LN_HSRXD_VLD	output	data lane1 HS data output valid to fabric
D2LN_HSRXD_VLD	output	data lane2 HS data output valid to fabric
D3LN_HSRXD_VLD	output	data lane3 HS data output valid to fabric
HSRX_EN_CK	input	CK Lane: 1'b1 HSRX enabled
HSRX_EN_D0	input	Data Lane0: ● 1'b1: HSRX enabled ● 1'b0: HSRX disabled
HSRX_EN_D1	input	Data Lane1: ● 1'b1: HSRX enabled ● 1'b0: HSRX disabled
HSRX_EN_D2	input	Data Lane2: ● 1'b1: HSRX enabled ● 1'b0: HSRX disabled
HSRX_EN_D3	input	Data Lane3:

端口	I/O	描述
		<ul style="list-style-type: none"> ● 1'b1: HSRX enabled ● 1'b0: HSRX disabled
HSRX_ODTEN_CK	input	CK HSRX ODT enabled: <ul style="list-style-type: none"> ● 1'b1 ODT enabled ● 1'b0 ODT disabled
HSRX_ODTEN_D0	input	Data Lane0 HSRX ODT enabled: <ul style="list-style-type: none"> ● 1'b1 ODT enabled ● 1'b0 ODT disabled
HSRX_ODTEN_D1	input	Data Lane1 HSRX ODT enabled: <ul style="list-style-type: none"> ● 1'b1 ODT enabled ● 1'b0 ODT disabled
HSRX_ODTEN_D2	input	Data Lane2 HSRX ODT enabled: <ul style="list-style-type: none"> ● 1'b1 ODT enabled ● 1'b0 ODT disabled
HSRX_ODTEN_D3	input	Data Lane3 HSRX ODT enabled: <ul style="list-style-type: none"> ● 1'b1 ODT enabled ● 1'b0 ODT disabled
D0LN_HSRX_DREN	input	Data Lane0 HSRX driver enabled: <ul style="list-style-type: none"> ● 1'b1 driver enabled ● 1'b0 driver disabled
D1LN_HSRX_DREN	input	Data Lane1 HSRX driver enabled: <ul style="list-style-type: none"> ● 1'b1 driver enabled ● 1'b0 driver disabled
D2LN_HSRX_DREN	input	Data Lane2 HSRX driver enabled: <ul style="list-style-type: none"> ● 1'b1 driver enabled ● 1'b0 driver disabled
D3LN_HSRX_DREN	input	Data Lane3 HSRX driver enabled <ul style="list-style-type: none"> ● 1'b1 driver enabled ● 1'b0 driver disabled
HSRX_DLYDIR_LANE0	input	Data Lane0: Direction for HSRX Deskew Delay Control: 0 Count Up; 1 Count Down;
HSRX_DLYDIR_LANE1	input	Data Lane1: Direction for HSRX Deskew Delay Contr Data Lane0: Direction for HSRX Deskew
HSRX_DLYDIR_LANE2	input	Data Lane2: Direction for HSRX Deskew Delay Control: 0 Count Up; 1 Count Down;
HSRX_DLYDIR_LANE3	input	Data Lane3: Direction for HSRX Deskew Delay Control: 0 Count Up; 1 Count Down;

端口	I/O	描述
HSRX_DLYDIR_LANECK	input	CK Lane: Direction for HSRX Deskew Delay Control: 0 Count Up; 1 Count Down
HSRX_DLYLDN_LANE0	input	Data Lane0: Load HSRX Deskew Delay Control input from Fuse: 1'b0 load
HSRX_DLYLDN_LANE1	input	Data Lane1: Load HSRX Deskew Delay Control input from Fuse: 1'b0 load
HSRX_DLYLDN_LANE2	input	Data Lane2: Load HSRX Deskew Delay Control input from Fuse: 1'b0 load
HSRX_DLYLDN_LANE3	input	Data Lane3: Load HSRX Deskew Delay Control input from Fuse: 1'b0 load
HSRX_DLYLDN_LANECK	input	CK Lane: Load HSRX Deskew Delay Control input from Fuse: 1'b0 load;
HSRX_DLYMV_LANE0	input	Data Lane0: enable HSRX Deskew Delay Control to count: 1'b1 move
HSRX_DLYMV_LANE1	input	Data Lane1: enable HSRX Deskew Delay Control to count: 1'b1 move
HSRX_DLYMV_LANE2	input	Data Lane2: enable HSRX Deskew Delay Control to count: 1'b1 move
HSRX_DLYMV_LANE3	input	Data Lane3: enable HSRX Deskew Delay Control to count: 1'b1 move
HSRX_DLYMV_LANECK	input	CK Lane: enable HSRX Deskew Delay Control to count: 1'b1 move
D0LN_DESKEW_DONE	output	D0ln_deskew_done
D1LN_DESKEW_DONE	output	D1ln_deskew_done
D2LN_DESKEW_DONE	output	D2ln_deskew_done
D3LN_DESKEW_DONE	output	D3ln_deskew_done
D0LN_DESKEW_ERROR	output	D0ln_deskew_error
D1LN_DESKEW_ERROR	output	D1ln_deskew_error
D2LN_DESKEW_ERROR	output	D2ln_deskew_error
D3LN_DESKEW_ERROR	output	D3ln_deskew_error
D0LN_DESKEW_REQ	input	D0lane deskew function request
D1LN_DESKEW_REQ	input	D1lane deskew function request
D2LN_DESKEW_REQ	input	D2lane deskew function request
D3LN_DESKEW_REQ	input	D3lane deskew function request
HSTX Signals		
CKLN_HSTXD	input	CK lane0 HS data input from fabric

端口	I/O	描述
		1:8 Mode: Data Width=8 1:16Mode: Data Width=16
D0LN_HSTXD	input	data lane0 HS data input from fabric 1:8 Mode: Data Width=8 1:16Mode: Data Width=16
D1LN_HSTXD	input	data lane1 HS data input from fabric 1:8 Mode: Data Width=8 1:16Mode: Data Width=16
D2LN_HSTXD	input	data lane2 HS data input from fabric 1:8 Mode: Data Width=8 1:16Mode: Data Width=16
D3LN_HSTXD	input	data lane3 HS data input from fabric 1:8 Mode: Data Width=8 1:16Mode: Data Width=16
HSTXD_VLD	input	HS_TX Data Valid input from fabric
HSTXEN_LNCK	input	CK Lane0: ● 1'b1: HSTX enabled ● 1'b0: HSTX disabled
HSTXEN_LN0	input	Data Lane0: ● 1'b1: HSTX enabled ● 1'b0: HSTX disabled
HSTXEN_LN1	input	Data Lane1: ● 1'b1: HSTX enabled ● 1'b0: HSTX disabled
HSTXEN_LN2	input	Data Lane2: ● 1'b1: HSTX enabled ● 1'b0: HSTX disabled
HSTXEN_LN3	input	Data Lane3: ● 1'b1: HSTX enabled ● 1'b0: HSTX disabled
TXDPEN_LN0	input	txdpen_in0,1'b1 enabled
TXDPEN_LN1	input	txdpen_in1,1'b1 enabled
TXDPEN_LN2	input	txdpen_in2,1'b1 enabled
TXDPEN_LN3	input	txdpen_in3,1'b1 enabled
TXDPEN_LNCK	input	txdpen_inck,1'b1 enabled
TXHCLK_EN	input	txhclk_en,1'b1 enabled

端口	I/O	描述
LPRX Signals		
DI_LPRX0_N	output	Data Lane0 Complement Pad LPRX input
DI_LPRX0_P	output	Data Lane0 True Pad LPRX input
DI_LPRX1_N	output	Data Lane1 Complement Pad LPRX input
DI_LPRX1_P	output	Data Lane1 True Pad LPRX input
DI_LPRX2_N	output	Data Lane2 Complement Pad LPRX input
DI_LPRX2_P	output	Data Lane2 True Pad LPRX input
DI_LPRX3_N	output	Data Lane3 Complement Pad LPRX input
DI_LPRX3_P	output	Data Lane3 True Pad LPRX input
DI_LPRXCK_N	output	CK Lane Complement Pad LPRX input
DI_LPRXCK_P	output	CK Lane True Pad LPRX input
LPRX_EN_CK	input	CK Lane: 1'b1 LPRX enabled
LPRX_EN_D0	input	Data Lane0: <ul style="list-style-type: none"> ● 1'b1 LPRX enabled ● 1'b0 LPRX disabled
LPRX_EN_D1	input	Data Lane1: <ul style="list-style-type: none"> ● 1'b1 LPRX enabled ● 1'b0 LPRX disabled
LPRX_EN_D2	input	Data Lane2: <ul style="list-style-type: none"> ● 1'b1 LPRX enabled ● 1'b0 LPRX disabled
LPRX_EN_D3	input	Data Lane3: <ul style="list-style-type: none"> ● 1'b1 LPRX enabled ● 1'b0 LPRX disabled
LPTX Signals		
DO_LPTX0_N	input	Data Lane0 Complement Pad LPTX output
DO_LPTX0_P	input	Data Lane0 True Pad LPTX output
DO_LPTX1_N	input	Data Lane1 Complement Pad LPTX output
DO_LPTX1_P	input	Data Lane1 True Pad LPTX output
DO_LPTX2_N	input	Data Lane2 Complement Pad LPTX output
DO_LPTX2_P	input	Data Lane2 True Pad LPTX output
DO_LPTX3_N	input	Data Lane3 Complement Pad LPTX output
DO_LPTX3_P	input	Data Lane3 True Pad LPTX output
DO_LPTXCK_N	input	CK Lane Complement Pad LPTX output

端口	I/O	描述
DO_LPTXCK_P	input	CK Lane True Pad LPTX output
LPTXEN_LNCK	input	CK Lane: 1'b1 LPTX enabled
LPTXEN_LN0	input	Data Lane0: 1'b1 LPTX enabled
LPTXEN_LN1	input	Data Lane1: 1'b1 LPTX enabled
LPTXEN_LN2	input	Data Lane2: 1'b1 LPTX enabled
LPTXEN_LN3	input	Data Lane3: 1'b1 LPTX enabled
ALP Signals		
ALPEDO_LANE0	output	ALP Mode: Data Lane0 output
ALPEDO_LANE1	output	ALP Mode: Data Lane1 output
ALPEDO_LANE2	output	ALP Mode: Data Lane2 output
ALPEDO_LANE3	output	ALP Mode: Data Lane3 output
ALPEDO_LANECK	output	ALP Mode: CK Lane output
ALP_EDEN_LANE0	input	ALP Mode: alp_eden_lane0
ALP_EDEN_LANE1	input	ALP Mode: alp_eden_lane1
ALP_EDEN_LANE2	input	ALP Mode: alp_eden_lane2
ALP_EDEN_LANE3	input	ALP Mode: alp_eden_lane3
ALP_EDEN_LANECK	input	ALP Mode: alp_eden_laneck
ALPEN_LN0	input	ALP Mode:1'b1, Lane0 enabled
ALPEN_LN1	input	ALP Mode:1'b1, Lane1 enabled
ALPEN_LN2	input	ALP Mode:1'b1, Lane2 enabled
ALPEN_LN3	input	ALP Mode:1'b1, Lane3 enabled
ALPEN_LNCK	input	ALP Mode: 1'b1, CK lane enabled
MRDATA [7:0]	output	mrdata
MA_INC	input	ma_inc
MCLK	input	mclk
MOPCODE	input	mopcode
MWDATA [7:0]	input	mwdata

3.1.2 参数介绍

表 3-2 MIPI D-PHY 参数介绍

参数	默认	描述
RX_ALIGN_BYTE	8'b10111000	KEY for word aligner and lane aligner
RX_BYTE_LITTLE_ENDIAN	1'b1	1'b1: Littlendian
RX_CLK_1X_SYNC_SEL	1'b0	Select clock source for HS lane output data: <ul style="list-style-type: none"> ● 0: select fabric input clock rx_clk_1x ● 1: select output clock rx_clk_o
RX_HS_8BIT_MODE	1'b0	1'b1:8bit mode; 1'b0:16bit mode
RX_INVERT	1'b0	data polarity selection:1'b1 invert
RX_LANE_ALIGN_EN	1'b0	1'b1:lane aligner enable
RX_ONE_BYTE0_MATCH	1'b0	byte count match in word aligner
RX_RD_START_DEPTH	5'b00001	
RX_SYNC_MODE	1'b0	
RX_WORD_ALIGN_BYPASS	1'b0	
RX_WORD_ALIGN_DATA_VLD_SRC_SEL	1'b0	
RX_WORD_LITTLE_ENDIAN	1'b1	1'b1: little endian of dual word(8bit/word). Not used in 8bit data output mode
TX_BYPASS_MODE	1'b0	
TX_BYTECLK_SYNC_MODE	1'b0	
TX_HS_8BIT_MODE	1'b0	1'b1:8bit mode; 1'b0:16bit mode
TX_OCLK_USE_CIBCLK	1'b0	
TX_RD_START_DEPTH	5'b00001	
TX_SYNC_MODE	1'b0	
TX_WORD_LITTLE_ENDIAN	1'b1	1'b1: little endian of dual word(8bit/word). Not used in 8bit data output mode

3.1.3 原语例化

Verilog 例化:

```

MIPI_DPHY mipi_dhpy_inst (
    .ALPEDO_LANE0(alpedo_lane0),
    .ALPEDO_LANE1(alpedo_lane1),
    .ALPEDO_LANE2(alpedo_lane2),
    .ALPEDO_LANE3(alpedo_lane3),
    .ALPEDO_LANECK(alpedo_laneck),
    .RX_CLK_O(rx_clk_o),
    .TX_CLK_O(tx_clk_o),
    .D0LN_DESKEW_DONE(d0ln_deskew_done),
    .D1LN_DESKEW_DONE(d1ln_deskew_done),
    .D2LN_DESKEW_DONE(d2ln_deskew_done),
    .D3LN_DESKEW_DONE(d3ln_deskew_done),
    .D0LN_DESKEW_ERROR(d0ln_deskew_error),
    .D1LN_DESKEW_ERROR(d1ln_deskew_error),
    .D2LN_DESKEW_ERROR(d2ln_deskew_error),
    .D3LN_DESKEW_ERROR(d3ln_deskew_error),
    .D0LN_HSRXD(d0ln_hsrxd),
    .D1LN_HSRXD(d1ln_hsrxd),
    .D2LN_HSRXD(d2ln_hsrxd),
    .D3LN_HSRXD(d3ln_hsrxd),
    .D0LN_HSRXD_VLD(d0ln_hsrxd_vld),
    .D1LN_HSRXD_VLD(d1ln_hsrxd_vld),
    .D2LN_HSRXD_VLD(d2ln_hsrxd_vld),
    .D3LN_HSRXD_VLD(d3ln_hsrxd_vld),
    .DI_LPRX0_N(di_lprx0_n),
    .DI_LPRX0_P(di_lprx0_p),
    .DI_LPRX1_N(di_lprx1_n),
    .DI_LPRX1_P(di_lprx1_p),
    .DI_LPRX2_N(di_lprx2_n),
    .DI_LPRX2_P(di_lprx2_p),
    .DI_LPRX3_N(di_lprx3_n),
    .DI_LPRX3_P(di_lprx3_p),
    .DI_LPRXCK_N(di_lprxck_n),
    .DI_LPRXCK_P(di_lprxck_p),
    .MRDATA(mrdata),
    .CK_N(ck_n),
    .CK_P(ck_p),
    .D0_N(d0_n),
    .D0_P(d0_p),
    .D1_N(d1_n),
    .D1_P(d1_p),

```

.D2_N(d2_n),
.D2_P(d2_p),
.D3_N(d3_n),
.D3_P(d3_p),
.ALP_EDEN_LANE0(alp_eden_lane0),
.ALP_EDEN_LANE1(alp_eden_lane1),
.ALP_EDEN_LANE2(alp_eden_lane2),
.ALP_EDEN_LANE3(alp_eden_lane3),
.ALP_EDEN_LANECK(alp_eden_laneck),
.ALPEN_LN0(alpen_ln0),
.ALPEN_LN1(alpen_ln1),
.ALPEN_LN2(alpen_ln2),
.ALPEN_LN3(alpen_ln3),
.ALPEN_LNCK(alpen_lnck),
.HSRX_STOP(hsrx_stop),
.HSTXEN_LN0(hstxen_ln0),
.HSTXEN_LN1(hstxen_ln1),
.HSTXEN_LN2(hstxen_ln2),
.HSTXEN_LN3(hstxen_ln3),
.HSTXEN_LNCK(hstxen_lnck),
.LPTXEN_LN0(lptxen_ln0),
.LPTXEN_LN1(lptxen_ln1),
.LPTXEN_LN2(lptxen_ln2),
.LPTXEN_LN3(lptxen_ln3),
.LPTXEN_LNCK(lptxen_lnck),
.PWRON_RX(pwron_rx),
.PWRON_TX(pwron_tx),
.RESET(reset),
.RX_CLK_1X(rx_clk_1x),
.TX_CLK_1X(tx_clk_1x),
.TXDPEN_LN0(txdpenn_in0),
.TXDPEN_LN1(txdpenn_in1),
.TXDPEN_LN2(txdpenn_in2),
.TXDPEN_LN3(txdpenn_in3),
.TXDPEN_LNCK(txdpenn_inck),
.TXHCLK_EN(txhclk_en),
.CKLN_HSTXD(ckln_hstxd),
.D0LN_HSTXD(d0ln_hstxd),
.D1LN_HSTXD(d1ln_hstxd),
.D2LN_HSTXD(d2ln_hstxd),
.D3LN_HSTXD(d3ln_hstxd),
.HSTXD_VLD(hstxd_vld),
.CK0(ck0),
.CK90(ck90),

.CK180(ck180),
.CK270(ck270),
.D0LN_DESKEW_REQ(d0ln_deskew_req),
.D1LN_DESKEW_REQ(d1ln_deskew_req),
.D2LN_DESKEW_REQ(d2ln_deskew_req),
.D3LN_DESKEW_REQ(d3ln_deskew_req),
.D0LN_HSRX_DREN(d0ln_hsrx_dren),
.D1LN_HSRX_DREN(d1ln_hsrx_dren),
.D2LN_HSRX_DREN(d2ln_hsrx_dren),
.D3LN_HSRX_DREN(d3ln_hsrx_dren),
.DO_LPTX0_N(do_lptx0_n),
.DO_LPTX0_P(do_lptx0_p),
.DO_LPTX1_N(do_lptx1_n),
.DO_LPTX1_P(do_lptx1_p),
.DO_LPTX2_N(do_lptx2_n),
.DO_LPTX2_P(do_lptx2_p),
.DO_LPTX3_N(do_lptx3_n),
.DO_LPTX3_P(do_lptx3_p),
.DO_LPTXCK_N(do_lptxck_n),
.DO_LPTXCK_P(do_lptxck_p),
.HSRX_DLYDIR_LANE0(hsrx_dlydir_lane0),
.HSRX_DLYDIR_LANE1(hsrx_dlydir_lane1),
.HSRX_DLYDIR_LANE2(hsrx_dlydir_lane2),
.HSRX_DLYDIR_LANE3(hsrx_dlydir_lane3),
.HSRX_DLYDIR_LANECK(hsrx_dlydir_laneck),
.HSRX_DLYLDN_LANE0(hsrx_dlyldn_lane0),
.HSRX_DLYLDN_LANE1(hsrx_dlyldn_lane1),
.HSRX_DLYLDN_LANE2(hsrx_dlyldn_lane2),
.HSRX_DLYLDN_LANE3(hsrx_dlyldn_lane3),
.HSRX_DLYLDN_LANECK(hsrx_dlyldn_laneck),
.HSRX_DLYMV_LANE0(hsrx_dlymv_lane0),
.HSRX_DLYMV_LANE1(hsrx_dlymv_lane1),
.HSRX_DLYMV_LANE2(hsrx_dlymv_lane2),
.HSRX_DLYMV_LANE3(hsrx_dlymv_lane3),
.HSRX_DLYMV_LANECK(hsrx_dlymv_laneck),
.HSRX_EN_CK(hsrx_en_ck),
.HSRX_EN_D0(hsrx_en_d0),
.HSRX_EN_D1(hsrx_en_d1),
.HSRX_EN_D2(hsrx_en_d2),
.HSRX_EN_D3(hsrx_en_d3),
.HSRX_ODTEN_CK(hsrx_odten_ck),
.HSRX_ODTEN_D0(hsrx_odten_d0),
.HSRX_ODTEN_D1(hsrx_odten_d1),
.HSRX_ODTEN_D2(hsrx_odten_d2),

```

.HSRX_ODTEN_D3(hsrx_odten_d3),
.LPRX_EN_CK(lprx_en_ck),
.LPRX_EN_D0(lprx_en_d0),
.LPRX_EN_D1(lprx_en_d1),
.LPRX_EN_D2(lprx_en_d2),
.LPRX_EN_D3(lprx_en_d3),
.MA_INC(ma_inc),
.MCLK(mclk),
.MOPCODE(mopcode),
.MWDATA(mwdata),
.RX_DRST_N(rx_drst_n),
.TX_DRST_N(tx_drst_n),
.WALIGN_DVLD(walign_dvld)
);

```

```

defparam mipi_dhpy_inst.TX_PLLCLK = "NONE";
defparam mipi_dhpy_inst.CKLN_DELAY_EN = 1'b0;
defparam mipi_dhpy_inst.CKLN_DELAY_OVR_VAL = 7'b0000000;
defparam mipi_dhpy_inst.D0LN_DELAY_EN = 1'b0;
defparam mipi_dhpy_inst.D0LN_DELAY_OVR_VAL = 7'b0000000;
defparam mipi_dhpy_inst.D0LN_DESKEW_BYPASS = 1'b0;
defparam mipi_dhpy_inst.D1LN_DELAY_EN = 1'b0;
defparam mipi_dhpy_inst.D1LN_DELAY_OVR_VAL = 7'b0000000;
defparam mipi_dhpy_inst.D1LN_DESKEW_BYPASS = 1'b0;
defparam mipi_dhpy_inst.D2LN_DELAY_EN = 1'b0;
defparam mipi_dhpy_inst.D2LN_DELAY_OVR_VAL = 7'b0000000;
defparam mipi_dhpy_inst.D2LN_DESKEW_BYPASS = 1'b0;
defparam mipi_dhpy_inst.D3LN_DELAY_EN = 1'b0;
defparam mipi_dhpy_inst.D3LN_DELAY_OVR_VAL = 7'b0000000;
defparam mipi_dhpy_inst.D3LN_DESKEW_BYPASS = 1'b0;
defparam mipi_dhpy_inst.DESKEW_EN_LOW_DELAY = 1'b0;
defparam mipi_dhpy_inst.DESKEW_EN_ONE_EDGE = 1'b0;
defparam mipi_dhpy_inst.DESKEW_FAST_LOOP_TIME = 4'b0000;
defparam mipi_dhpy_inst.DESKEW_FAST_MODE = 1'b0;
defparam mipi_dhpy_inst.DESKEW_HALF_OPENING = 6'b000000;
defparam mipi_dhpy_inst.DESKEW_LSB_MODE = 2'b00;
defparam mipi_dhpy_inst.DESKEW_M = 3'b000;
defparam mipi_dhpy_inst.DESKEW_M_TH = 13'b0000000000000;
defparam mipi_dhpy_inst.DESKEW_MAX_SETTING = 7'b0000000;
defparam mipi_dhpy_inst.DESKEW_ONE_CLK_EDGE_EN = 1'b0;
defparam mipi_dhpy_inst.DESKEW_RST_BYPASS = 1'b0;
defparam mipi_dhpy_inst.RX_ALIGN_BYTE = 8'b10111000;
defparam mipi_dhpy_inst.RX_BYTE_LITTLE_ENDIAN = 1'b1;
defparam mipi_dhpy_inst.RX_CLK_1X_SYNC_SEL = 1'b0;

```



```
defparam mipi_dhpy_inst.RX_HS_8BIT_MODE = 1'b0;
defparam mipi_dhpy_inst.RX_INVERT = 1'b0;
defparam mipi_dhpy_inst.RX_LANE_ALIGN_EN = 1'b0;
defparam mipi_dhpy_inst.RX_ONE_BYTE0_MATCH = 1'b0;
defparam mipi_dhpy_inst.RX_RD_START_DEPTH = 5'b00001;
defparam mipi_dhpy_inst.RX_SYNC_MODE = 1'b0;
defparam mipi_dhpy_inst.RX_WORD_ALIGN_BYPASS = 1'b0;
defparam mipi_dhpy_inst.RX_WORD_ALIGN_DATA_VLD_SRC_SEL
= 1'b0;
defparam mipi_dhpy_inst.RX_WORD_LITTLE_ENDIAN = 1'b1;
defparam mipi_dhpy_inst.TX_BYPASS_MODE = 1'b0;
defparam mipi_dhpy_inst.TX_BYTECLK_SYNC_MODE = 1'b0;
defparam mipi_dhpy_inst.TX_HS_8BIT_MODE = 1'b0;
defparam mipi_dhpy_inst.TX_OCLK_USE_CIBCLK = 1'b0;
defparam mipi_dhpy_inst.TX_RD_START_DEPTH = 5'b00001;
defparam mipi_dhpy_inst.TX_SYNC_MODE = 1'b0;
defparam mipi_dhpy_inst.TX_WORD_LITTLE_ENDIAN = 1'b1;
defparam mipi_dhpy_inst.EQ_CS_LANE0 = 3'b100;
defparam mipi_dhpy_inst.EQ_CS_LANE1 = 3'b100;
defparam mipi_dhpy_inst.EQ_CS_LANE2 = 3'b100;
defparam mipi_dhpy_inst.EQ_CS_LANE3 = 3'b100;
defparam mipi_dhpy_inst.EQ_CS_LANECK = 3'b100;
defparam mipi_dhpy_inst.EQ_RS_LANE0 = 3'b100;
defparam mipi_dhpy_inst.EQ_RS_LANE1 = 3'b100;
defparam mipi_dhpy_inst.EQ_RS_LANE2 = 3'b100;
defparam mipi_dhpy_inst.EQ_RS_LANE3 = 3'b100;
defparam mipi_dhpy_inst.EQ_RS_LANECK = 3'b100;
defparam mipi_dhpy_inst.HSCLK_LANE_LN0 = 1'b1;
defparam mipi_dhpy_inst.HSCLK_LANE_LN1 = 1'b1;
defparam mipi_dhpy_inst.HSCLK_LANE_LN2 = 1'b1;
defparam mipi_dhpy_inst.HSCLK_LANE_LN3 = 1'b1;
defparam mipi_dhpy_inst.HSCLK_LANE_LNCK = 1'b0;
defparam mipi_dhpy_inst.HSREG_EN_LN0 = 1'b0;
defparam mipi_dhpy_inst.HSREG_EN_LN1 = 1'b0;
defparam mipi_dhpy_inst.HSREG_EN_LN2 = 1'b0;
defparam mipi_dhpy_inst.HSREG_EN_LN3 = 1'b0;
defparam mipi_dhpy_inst.HSREG_EN_LNCK = 1'b0;
defparam mipi_dhpy_inst.LANE_DIV_SEL = 2'b00;
defparam mipi_dhpy_inst.ALP_ED_EN_LANE0 = 1'b1;
defparam mipi_dhpy_inst.ALP_ED_EN_LANE1 = 1'b1;
defparam mipi_dhpy_inst.ALP_ED_EN_LANE2 = 1'b1;
defparam mipi_dhpy_inst.ALP_ED_EN_LANE3 = 1'b1;
defparam mipi_dhpy_inst.ALP_ED_EN_LANECK = 1'b1;
defparam mipi_dhpy_inst.ALP_ED_TST_LANE0 = 1'b0;
```

```
defparam mipi_dhpy_inst.ALP_ED_TST_LANE1 = 1'b0;
defparam mipi_dhpy_inst.ALP_ED_TST_LANE2 = 1'b0;
defparam mipi_dhpy_inst.ALP_ED_TST_LANE3 = 1'b0;
defparam mipi_dhpy_inst.ALP_ED_TST_LANECK = 1'b0;
defparam mipi_dhpy_inst.ALP_EN_LN0 = 1'b0;
defparam mipi_dhpy_inst.ALP_EN_LN1 = 1'b0;
defparam mipi_dhpy_inst.ALP_EN_LN2 = 1'b0;
defparam mipi_dhpy_inst.ALP_EN_LN3 = 1'b0;
defparam mipi_dhpy_inst.ALP_EN_LNCK = 1'b0;
defparam mipi_dhpy_inst.ALP_HYS_EN_LANE0 = 1'b1;
defparam mipi_dhpy_inst.ALP_HYS_EN_LANE1 = 1'b1;
defparam mipi_dhpy_inst.ALP_HYS_EN_LANE2 = 1'b1;
defparam mipi_dhpy_inst.ALP_HYS_EN_LANE3 = 1'b1;
defparam mipi_dhpy_inst.ALP_HYS_EN_LANECK = 1'b1;
defparam mipi_dhpy_inst.ALP_TH_LANE0 = 4'b1000;
defparam mipi_dhpy_inst.ALP_TH_LANE1 = 4'b1000;
defparam mipi_dhpy_inst.ALP_TH_LANE2 = 4'b1000;
defparam mipi_dhpy_inst.ALP_TH_LANE3 = 4'b1000;
defparam mipi_dhpy_inst.ALP_TH_LANECK = 4'b1000;
defparam mipi_dhpy_inst.ANA_BYTECLK_PH = 2'b00;
defparam mipi_dhpy_inst.BIT_REVERSE_LN0 = 1'b0;
defparam mipi_dhpy_inst.BIT_REVERSE_LN1 = 1'b0;
defparam mipi_dhpy_inst.BIT_REVERSE_LN2 = 1'b0;
defparam mipi_dhpy_inst.BIT_REVERSE_LN3 = 1'b0;
defparam mipi_dhpy_inst.BIT_REVERSE_LNCK = 1'b0;
defparam mipi_dhpy_inst.BYPASS_TXHCLKEN = 1'b1;
defparam mipi_dhpy_inst.BYPASS_TXHCLKEN_SYNC = 1'b0;
defparam mipi_dhpy_inst.BYTE_CLK_POLAR = 1'b0;
defparam mipi_dhpy_inst.BYTE_REVERSE_LN0 = 1'b0;
defparam mipi_dhpy_inst.BYTE_REVERSE_LN1 = 1'b0;
defparam mipi_dhpy_inst.BYTE_REVERSE_LN2 = 1'b0;
defparam mipi_dhpy_inst.BYTE_REVERSE_LN3 = 1'b0;
defparam mipi_dhpy_inst.BYTE_REVERSE_LNCK = 1'b0;
defparam mipi_dhpy_inst.EN_CLKB1X = 1'b1;
defparam mipi_dhpy_inst.EQ_PBIAS_LANE0 = 4'b1000;
defparam mipi_dhpy_inst.EQ_PBIAS_LANE1 = 4'b1000;
defparam mipi_dhpy_inst.EQ_PBIAS_LANE2 = 4'b1000;
defparam mipi_dhpy_inst.EQ_PBIAS_LANE3 = 4'b1000;
defparam mipi_dhpy_inst.EQ_PBIAS_LANECK = 4'b1000;
defparam mipi_dhpy_inst.EQ_ZLD_LANE0 = 4'b1000;
defparam mipi_dhpy_inst.EQ_ZLD_LANE1 = 4'b1000;
defparam mipi_dhpy_inst.EQ_ZLD_LANE2 = 4'b1000;
defparam mipi_dhpy_inst.EQ_ZLD_LANE3 = 4'b1000;
defparam mipi_dhpy_inst.EQ_ZLD_LANECK = 4'b1000;
```

```
defparam mipi_dhpy_inst.HIGH_BW_LANE0 = 1'b1;
defparam mipi_dhpy_inst.HIGH_BW_LANE1 = 1'b1;
defparam mipi_dhpy_inst.HIGH_BW_LANE2 = 1'b1;
defparam mipi_dhpy_inst.HIGH_BW_LANE3 = 1'b1;
defparam mipi_dhpy_inst.HIGH_BW_LANECK = 1'b1;
defparam mipi_dhpy_inst.HSREG_VREF_CTL = 3'b100;
defparam mipi_dhpy_inst.HSREG_VREF_EN = 1'b0;
defparam mipi_dhpy_inst.HSRX_DLY_CTL_CK = 7'b0000000;
defparam mipi_dhpy_inst.HSRX_DLY_CTL_LANE0 = 7'b0000000;
defparam mipi_dhpy_inst.HSRX_DLY_CTL_LANE1 = 7'b0000000;
defparam mipi_dhpy_inst.HSRX_DLY_CTL_LANE2 = 7'b0000000;
defparam mipi_dhpy_inst.HSRX_DLY_CTL_LANE3 = 7'b0000000;
defparam mipi_dhpy_inst.HSRX_DLY_SEL_LANE0 = 1'b0;
defparam mipi_dhpy_inst.HSRX_DLY_SEL_LANE1 = 1'b0;
defparam mipi_dhpy_inst.HSRX_DLY_SEL_LANE2 = 1'b0;
defparam mipi_dhpy_inst.HSRX_DLY_SEL_LANE3 = 1'b0;
defparam mipi_dhpy_inst.HSRX_DLY_SEL_LANECK = 1'b0;
defparam mipi_dhpy_inst.HSRX_DUTY_LANE0 = 4'b1000;
defparam mipi_dhpy_inst.HSRX_DUTY_LANE1 = 4'b1000;
defparam mipi_dhpy_inst.HSRX_DUTY_LANE2 = 4'b1000;
defparam mipi_dhpy_inst.HSRX_DUTY_LANE3 = 4'b1000;
defparam mipi_dhpy_inst.HSRX_DUTY_LANECK = 4'b1000;
defparam mipi_dhpy_inst.HSRX_EN = 1'b1;
defparam mipi_dhpy_inst.HSRX_EQ_EN_LANE0 = 1'b1;
defparam mipi_dhpy_inst.HSRX_EQ_EN_LANE1 = 1'b1;
defparam mipi_dhpy_inst.HSRX_EQ_EN_LANE2 = 1'b1;
defparam mipi_dhpy_inst.HSRX_EQ_EN_LANE3 = 1'b1;
defparam mipi_dhpy_inst.HSRX_EQ_EN_LANECK = 1'b1;
defparam mipi_dhpy_inst.HSRX_IBIAS = 4'b0011;
defparam mipi_dhpy_inst.HSRX_IBIAS_TEST_EN = 1'b0;
defparam mipi_dhpy_inst.HSRX_IMARG_EN = 1'b1;
defparam mipi_dhpy_inst.HSRX_LANESEL = 4'b1111;
defparam mipi_dhpy_inst.HSRX_LANESEL_CK = 1'b1;
defparam mipi_dhpy_inst.HSRX_ODT_EN = 1'b1;
defparam mipi_dhpy_inst.HSRX_ODT_TST = 4'b0000;
defparam mipi_dhpy_inst.HSRX_ODT_TST_CK = 1'b0;
defparam mipi_dhpy_inst.HSRX_SEL = 4'b0000;
defparam mipi_dhpy_inst.HSRX_STOP_EN = 1'b0;
defparam mipi_dhpy_inst.HSRX_TST = 4'b0000;
defparam mipi_dhpy_inst.HSRX_TST_CK = 1'b0;
defparam mipi_dhpy_inst.HSRX_WAIT4EDGE = 1'b1;
defparam mipi_dhpy_inst.HSTX_EN_LN0 = 1'b0;
defparam mipi_dhpy_inst.HSTX_EN_LN1 = 1'b0;
defparam mipi_dhpy_inst.HSTX_EN_LN2 = 1'b0;
```

```
defparam mipi_dhpy_inst.HSTX_EN_LN3 = 1'b0;
defparam mipi_dhpy_inst.HSTX_EN_LNCK = 1'b0;
defparam mipi_dhpy_inst.HYST_NCTL = 2'b01;
defparam mipi_dhpy_inst.HYST_PCTL = 2'b01;
defparam mipi_dhpy_inst.IBIAS_TEST_EN = 1'b0;
defparam mipi_dhpy_inst.LB_CH_SEL = 1'b0;
defparam mipi_dhpy_inst.LB_EN_LN0 = 1'b0;
defparam mipi_dhpy_inst.LB_EN_LN1 = 1'b0;
defparam mipi_dhpy_inst.LB_EN_LN2 = 1'b0;
defparam mipi_dhpy_inst.LB_EN_LN3 = 1'b0;
defparam mipi_dhpy_inst.LB_EN_LNCK = 1'b0;
defparam mipi_dhpy_inst.LB_POLAR_LN0 = 1'b0;
defparam mipi_dhpy_inst.LB_POLAR_LN1 = 1'b0;
defparam mipi_dhpy_inst.LB_POLAR_LN2 = 1'b0;
defparam mipi_dhpy_inst.LB_POLAR_LN3 = 1'b0;
defparam mipi_dhpy_inst.LB_POLAR_LNCK = 1'b0;
defparam mipi_dhpy_inst.LOW_LPRX_VTH = 1'b0;
defparam mipi_dhpy_inst.LPBK_DATA2TO1 = 4'b0000;
defparam mipi_dhpy_inst.LPBK_DATA2TO1_CK = 1'b0;
defparam mipi_dhpy_inst.LPBK_EN = 1'b0;
defparam mipi_dhpy_inst.LPBK_SEL = 4'b0000;
defparam mipi_dhpy_inst.LPBKTST_EN = 4'b0000;
defparam mipi_dhpy_inst.LPBKTST_EN_CK = 1'b0;
defparam mipi_dhpy_inst.LPRX_EN = 1'b1;
defparam mipi_dhpy_inst.LPRX_TST = 4'b0000;
defparam mipi_dhpy_inst.LPRX_TST_CK = 1'b0;
defparam mipi_dhpy_inst.LPTX_DAT_POLAR_LN0 = 1'b0;
defparam mipi_dhpy_inst.LPTX_DAT_POLAR_LN1 = 1'b0;
defparam mipi_dhpy_inst.LPTX_DAT_POLAR_LN2 = 1'b0;
defparam mipi_dhpy_inst.LPTX_DAT_POLAR_LN3 = 1'b0;
defparam mipi_dhpy_inst.LPTX_DAT_POLAR_LNCK = 1'b0;
defparam mipi_dhpy_inst.LPTX_EN_LN0 = 1'b1;
defparam mipi_dhpy_inst.LPTX_EN_LN1 = 1'b1;
defparam mipi_dhpy_inst.LPTX_EN_LN2 = 1'b1;
defparam mipi_dhpy_inst.LPTX_EN_LN3 = 1'b1;
defparam mipi_dhpy_inst.LPTX_EN_LNCK = 1'b1;
defparam mipi_dhpy_inst.LPTX_NIMP_LN0 = 3'b100;
defparam mipi_dhpy_inst.LPTX_NIMP_LN1 = 3'b100;
defparam mipi_dhpy_inst.LPTX_NIMP_LN2 = 3'b100;
defparam mipi_dhpy_inst.LPTX_NIMP_LN3 = 3'b100;
defparam mipi_dhpy_inst.LPTX_NIMP_LNCK = 3'b100;
defparam mipi_dhpy_inst.LPTX_PIMP_LN0 = 3'b100;
defparam mipi_dhpy_inst.LPTX_PIMP_LN1 = 3'b100;
defparam mipi_dhpy_inst.LPTX_PIMP_LN2 = 3'b100;
```

```
defparam mipi_dhpy_inst.LPTX_PIMP_LN3 = 3'b100;
defparam mipi_dhpy_inst.LPTX_PIMP_LNCK = 3'b100;
defparam mipi_dhpy_inst.MIPI_PMA_DIS_N = 1'b1;
defparam mipi_dhpy_inst.PGA_BIAS_LANE0 = 4'b1000;
defparam mipi_dhpy_inst.PGA_BIAS_LANE1 = 4'b1000;
defparam mipi_dhpy_inst.PGA_BIAS_LANE2 = 4'b1000;
defparam mipi_dhpy_inst.PGA_BIAS_LANE3 = 4'b1000;
defparam mipi_dhpy_inst.PGA_BIAS_LANECK = 4'b1000;
defparam mipi_dhpy_inst.PGA_GAIN_LANE0 = 4'b1000;
defparam mipi_dhpy_inst.PGA_GAIN_LANE1 = 4'b1000;
defparam mipi_dhpy_inst.PGA_GAIN_LANE2 = 4'b1000;
defparam mipi_dhpy_inst.PGA_GAIN_LANE3 = 4'b1000;
defparam mipi_dhpy_inst.PGA_GAIN_LANECK = 4'b1000;
defparam mipi_dhpy_inst.RX_ODT_TRIM_LANE0 = 4'b1000;
defparam mipi_dhpy_inst.RX_ODT_TRIM_LANE1 = 4'b1000;
defparam mipi_dhpy_inst.RX_ODT_TRIM_LANE2 = 4'b1000;
defparam mipi_dhpy_inst.RX_ODT_TRIM_LANE3 = 4'b1000;
defparam mipi_dhpy_inst.RX_ODT_TRIM_LANECK = 4'b1000;
defparam mipi_dhpy_inst.SLEWN_CTL_LN0 = 4'b1111;
defparam mipi_dhpy_inst.SLEWN_CTL_LN1 = 4'b1111;
defparam mipi_dhpy_inst.SLEWN_CTL_LN2 = 4'b1111;
defparam mipi_dhpy_inst.SLEWN_CTL_LN3 = 4'b1111;
defparam mipi_dhpy_inst.SLEWN_CTL_LNCK = 4'b1111;
defparam mipi_dhpy_inst.SLEWP_CTL_LN0 = 4'b1111;
defparam mipi_dhpy_inst.SLEWP_CTL_LN1 = 4'b1111;
defparam mipi_dhpy_inst.SLEWP_CTL_LN2 = 4'b1111;
defparam mipi_dhpy_inst.SLEWP_CTL_LN3 = 4'b1111;
defparam mipi_dhpy_inst.SLEWP_CTL_LNCK = 4'b1111;
defparam mipi_dhpy_inst.STP_UNIT = 2'b11;
defparam mipi_dhpy_inst.TERMN_CTL_LN0 = 4'b1000;
defparam mipi_dhpy_inst.TERMN_CTL_LN1 = 4'b1000;
defparam mipi_dhpy_inst.TERMN_CTL_LN2 = 4'b1000;
defparam mipi_dhpy_inst.TERMN_CTL_LN3 = 4'b1000;
defparam mipi_dhpy_inst.TERMN_CTL_LNCK = 4'b1000;
defparam mipi_dhpy_inst.TERMP_CTL_LN0 = 4'b1000;
defparam mipi_dhpy_inst.TERMP_CTL_LN1 = 4'b1000;
defparam mipi_dhpy_inst.TERMP_CTL_LN2 = 4'b1000;
defparam mipi_dhpy_inst.TERMP_CTL_LN3 = 4'b1000;
defparam mipi_dhpy_inst.TERMP_CTL_LNCK = 4'b1000;
defparam mipi_dhpy_inst.TEST_EN_LN0 = 1'b0;
defparam mipi_dhpy_inst.TEST_EN_LN1 = 1'b0;
defparam mipi_dhpy_inst.TEST_EN_LN2 = 1'b0;
defparam mipi_dhpy_inst.TEST_EN_LN3 = 1'b0;
defparam mipi_dhpy_inst.TEST_EN_LNCK = 1'b0;
```

```
defparam mipi_dhpy_inst.TEST_N_IMP_LN0 = 1'b0;
defparam mipi_dhpy_inst.TEST_N_IMP_LN1 = 1'b0;
defparam mipi_dhpy_inst.TEST_N_IMP_LN2 = 1'b0;
defparam mipi_dhpy_inst.TEST_N_IMP_LN3 = 1'b0;
defparam mipi_dhpy_inst.TEST_N_IMP_LNCK = 1'b0;
defparam mipi_dhpy_inst.TEST_P_IMP_LN0 = 1'b0;
defparam mipi_dhpy_inst.TEST_P_IMP_LN1 = 1'b0;
defparam mipi_dhpy_inst.TEST_P_IMP_LN2 = 1'b0;
defparam mipi_dhpy_inst.TEST_P_IMP_LN3 = 1'b0;
defparam mipi_dhpy_inst.TEST_P_IMP_LNCK = 1'b0;
defparam mipi_dhpy_inst.TXDP_EN_LN0 = 1'b1;
defparam mipi_dhpy_inst.TXDP_EN_LN1 = 1'b1;
defparam mipi_dhpy_inst.TXDP_EN_LN2 = 1'b1;
defparam mipi_dhpy_inst.TXDP_EN_LN3 = 1'b1;
defparam mipi_dhpy_inst.TXDP_EN_LNCK = 1'b1;
```

3.2 MIPI D-PHY RX

3.2.1 端口介绍

表 3-3 MIPI D-PHY RX 端口介绍

端口	I/O	描述
MIPI INTERFACE Signals		
CK_N	inout	CK Lane Complement Input
CK_P	inout	CK Lane True Input
DX<0~3>_N	inout	Data Lane <0~3> Complement Input
DX<0~3>_P	inout	Data Lane <0~3> True Input
RESET and CLOCK Signals		
RESET	input	Reset signal: 1'b1: reset all;
PWRON	input	Power-On Control: 1'b1 - HSRX on 1'b0 - HSRX off to standby in low power state
HSRX_STOP	input	HSRX Clock Stop Signal for synchronization
DRST_N	input	Digital reset, active low
RX_CLK_1X	input	1X clock from fabric, max 93.75MHz@1.5Gbps
RX_CLK_O	output	HSRX Clock output
CONFIG Signals		
RX_INVERT	input	data polarity selection
HS_8BIT_MODE	input	Selection of data width to Fabric
BYTE_LENDIAN	input	bit data Little/Big-endian of 8bit
WORD_LENDIAN	input	data little/big endian of dual bytes. Not used in 8bit data output mode
FIFO_RD_STD[2:0]	input	FIFO read threshold. Can only be 1 in 8bit mode.
WALIGN_BY	input	word aligner bypass
ONE_BYTE0_MATCH	input	byte count match in word aligner
LALIGN_EN	input	lane aligner enable
WALIGN_DVLD	input	word aligner input data valid from the fabric
HSRX Signals		
D<0~3>LN_HSRXD[7/15:0]	output	Data Lane <0~3> HS data output to fabric 1:8 Mode: Data Width=8 1:16Mode: Data Width=16

端口	I/O	描述
D<0~3>LN_HSRXD_VLD	output	Data Lane <0~3> HS data output valid to fabric
HSRX_EN_CK	input	CK Lane HSRX enabled
D<0~3>LN_HSRX_DREN	input	Data Lane <0~3> HSRX driver enabled
HSRX_ODTEN_CK	input	CK Lane HSRX ODT enabled
HSRX_ODTEN_D<0~3>	input	Data Lane <0~3> HSRX ODT enabled
LPRX Signals		
LPRX_EN_D<0~3>	input	Data Lane <0~3> LPRX enabled
DI_LPRX<0~3>_N	output	Data Lane <0~3> Complement Pad LPRX input
DI_LPRX<0~3>_P	output	Data Lane <0~3> True Pad LPRX input
LPRX_EN_CK	input	CK Lane LPRX enabled
DI_LPRXCK_N	output	CK Lane Complement Pad LPRX input
DI_LPRXCK_P	output	CK Lane True Pad LPRX input
LPTX Signals		
LPTX_EN_D<0~3>	input	Data Lane <0~3> LPTX enabled
DO_LPTX<0~3>_N	input	Data Lane <0~3> Complement Pad LPTX output
DO_LPTX<0~3>_P	input	Data Lane <0~3> True Pad LPTX output
LPTX_EN_CK	input	CK Lane LPTX enabled
DO_LPTXCK_N	input	CK Lane Complement Pad LPTX output
DO_LPTXCK_P	input	CK Lane True Pad LPTX output
DE-SKEW Signals		
DESKEW_BY	input	
DESKEW_EN_OEDGE	input	
DESKEW_LSB_MODE[2:0]	input	
DESKEW_M[2:0]	input	counter threshold for confirming edge
DESKEW_MSET[6:0]	input	
DESKEW_MTH[12:0]	input	counter threshold for searching one edge
DESKEW_LNSEL[2:0]	input	selection of lane to config delay overwrite value and make lane in de-skew delay overwrite mode
DESKEW_HALF_OPENING[5:0]	input	
DESKEW_OCLKEDG_EN	input	select one clock edge (pos-edge/neg-edge) to calculate the de-skew delay
DESKEW_OWVAL[6:0]	input	
DESKEW_REQ	input	De-skew function request to all data lanes
DESKEW_ERROR	output	4 data lane de-skew result error report

端口	I/O	描述
D<0~3>LN_DESKEW_DONE	output	Lane <0~3> de-skew done
HSRX_DLYDIR_LANE<0~3>	input	Data Lane <0~3> Direction for HSRX De-skew Delay Control: 0 Count Up; 1 Count Down
HSRX_DLYDIR_CK	input	CK Lane Direction for HSRX De-skew Delay Control: 0 Count Up; 1 Count Down
HSRX_DLYLDN_LANE<0~3>	input	Data Lane <0~3>: Load HSRX De-skew Delay Control input from Fuse: 1'b0 load
HSRX_DLYLDN_CK	input	CK Lane: Load HSRX De-skew Delay Control input from Fuse: 1'b0 load
HSRX_DLYMV_LANE<0~3>	input	Data Lane <0~3>: enable HSRX De-skew Delay Control to count: 1'b1 move
HSRX_DLYMV_CK	input	CK Lane: enable HSRX De-skew Delay Control to count: 1'b1 move
EQCS_LANE[2:0]	input	Data Lane <0~3>: Equalizer Source degeneration capacitor setting, 3b'000 smallest Cap; 3b'111 biggest Cap, default 3'b100
EQCS_CK[2:0]	input	CK Lane: Equalizer Source degeneration capacitor setting, 3b'000 smallest Cap; 3b'111 biggest Cap, default 3'b100

4 IP 的调用

为方便使用，高云半导体云源®软件对硬核 MIPI D-PHY 进行了 IP 封装。封装后的 IP 适合大部分使用场景，如果有进一步需求，可在技术支持的指导下使用原语方式例化。

4.1 MIPI D-PHY TX IP

4.1.1 端口介绍

表 4-1 MIPI D-PHY TX IP 顶层端口

端口	I/O	描述
MIPI 物理接口信号¹		
ck_n	inout	时钟通道，差分 n 端。
ck_p	inout	时钟通道，差分 p 端。
d<0~3>_n	inout	数据通道<0~3>，差分 n 端。
d<0~3>_p	inout	数据通道<0~3>，差分 p 端。
时钟与复位信号		
tx_drst_n	input	TX 数字部分复位，低电平有效。
clkin ²	input	PLL 输入时钟。
clkout4 ²	output	PLL 输出时钟 clkout4。
tx_clk_o ²	output	字节域时钟（Byte Clock），主要的工作时钟；HS TX 信号大部分同步于该时钟。
HS TX 信号		
txhclk_en	input	高速时钟使能，高电平有效。
txdpen_lInck	input	时钟通道 driver 使能，高电平有效。
txdpen_lIn<0~3>	input	数据通道<0~3> driver 使能，高电平有效。
hstxen_lInck	input	时钟通道 HS 发送使能，高电平有效。

端口	I/O	描述
hstxen_in<0~3>	input	数据通道<0~3> HS 发送使能，高电平有效。
hstxd_vld	input	HS 发送数据有效指示，高电平有效。
ckln_hstxd[7/15:0]	input	时钟通道 HS 发送数据输入； 选择 8-bits 模式位宽为 8，16-bits 模式位宽为 16； 一般用 8'b0101_0101 或 16'h0101_0101_0101_0101 作为固定输入。
d<0~3>ln_hstxd[7/15:0]	input	数据通道<0~3> HS 发送数据输入； 当选择 8-bits 模式位宽为 8，16-bits 模式位宽为 16； 位宽为 16 时，低 8 位先发送至线路上。
LP TX 信号		
lptxen_inck	input	时钟通道 LP 发送使能，高电平有效。
do_lptxck_n	input	时钟通道 LP 发送数据输入，n 端。
do_lptxck_p	input	时钟通道 LP 发送数据输入，p 端。
lptxen_in<0~3>	input	数据通道<0~3> LP 发送使能，高电平有效。
do_lptx<0~3>_n	input	数据通道<0~3> LP 发送数据输入，n 端。
do_lptx<0~3>_p	input	数据通道<0~3> LP 发送数据输入，p 端。
LP RX 信号		
lprx_en_ck	input	时钟通道 LP 接收使能，高电平有效。
di_lprxck_n	output	时钟通道 LP 接收数据输出，n 端。
di_lprxck_p	output	时钟通道 LP 接收数据输出，p 端。
lprx_en_d<0~3>	input	数据通道<0~3> LP 接收使能，高电平有效。
di_lprx<0~3>_n	output	数据通道<0~3> LP 接收数据输出，n 端。
di_lprx<0~3>_p	output	数据通道<0~3> LP 接收数据输出，p 端。

注！

- 物理接口直接连接至 MIPI 专属管脚（参见《[UG985, GW5A-25 器件 Pinout 手册](#)》），例化时不需要连接；D-PHY RX 与 D-PHY TX 共用 MIPI 专属管脚。
- MIPI D-PHY TX IP 内部例化了一个 D-PHY TX 专用 PLL（PLL 资源参见《[UG306, Arora V 时钟资源用户指南](#)》5.1 章节），用于产生所需的时钟。D-PHY TX 以该 PLL 的 VCO 作为参考时钟源；字节时钟由 tx_clk_o 引出，频率为：

$$f_{tx_clk_o} = \langle DPHY \text{ Data Rate} \rangle / \langle 8 \text{ or } 16 \rangle;$$

用户自定义时钟由 clkout4 引出，频率为：

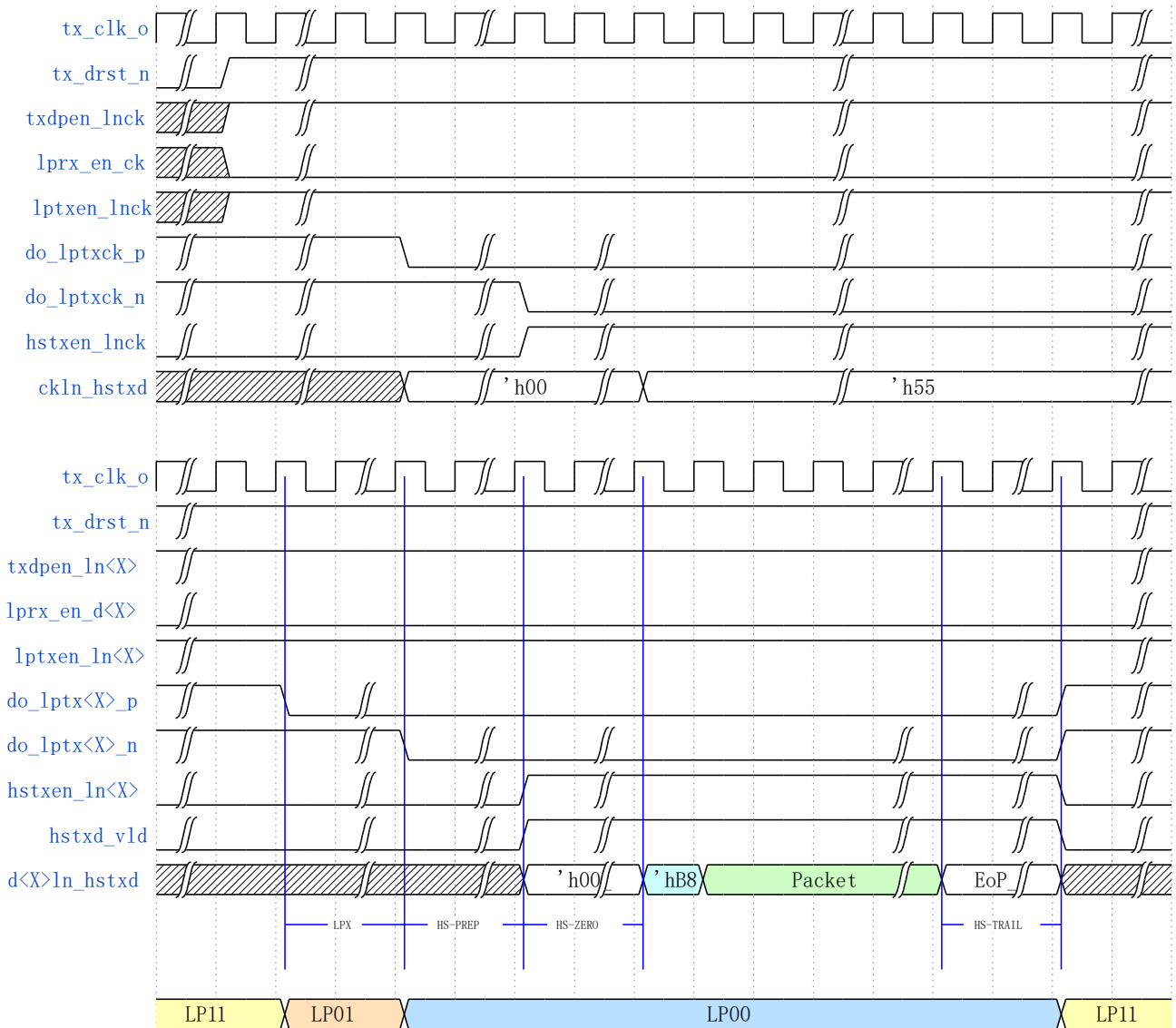
$$f_{clkout4} = f_{vco} / \langle CLKOUT4 \text{ Divider Factor} \rangle。$$

注！

f_{vco} 与 D-PHY Data Rate 不一定相等。

4.1.2 典型时序

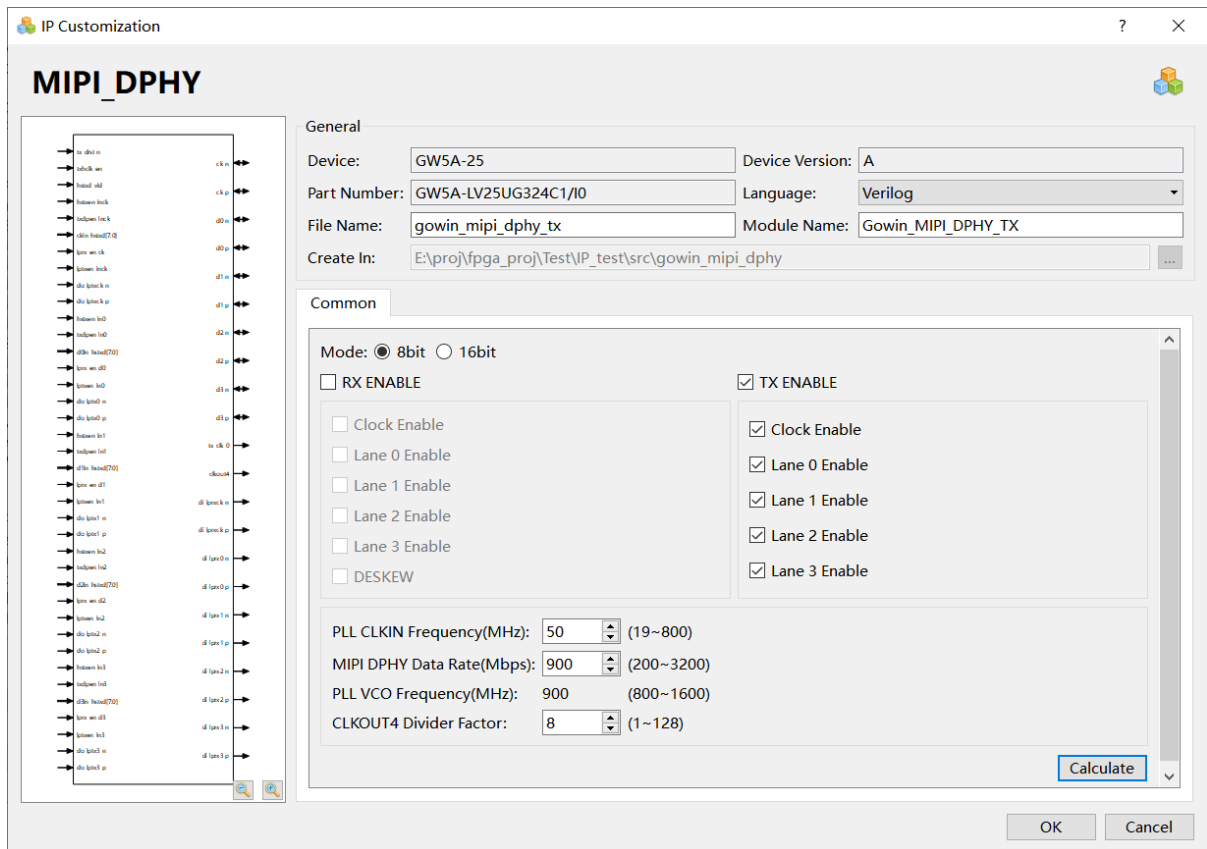
图 4-1 MIPI D-PHY TX 典型时序



<X>=0, 1, 2 or 3

4.1.3 配置说明

图 4-2 MIPI D-PHY 配置页面 (TX)



1. General 配置框

General 配置框用于配置产生的 IP 设计文件的相关信息。

- **Device:** 显示已配置的 Device 信息；
- **Part Number:** 显示已配置的 Part Number 信息；
- **Language:** 配置产生的 IP 设计文件的硬件描述语言。选择右侧下拉列表框，选择目标语言，支持 Verilog 和 VHDL；
- **Module Name:** 配置产生的 IP 设计文件的 Module name。在右侧文本框可重新编辑模块名称。Module Name 不能与原语名称相同，若相同，则报出 Error 提示；
- **File Name:** 配置产生的 IP 设计文件的文件名。在右侧文本框可重新编辑文件名称；
- **Create In:** 配置产生的 IP 设计文件的目标路径。可在右侧文本框中重新编辑目标路径，也可通过文本框右侧选择按钮选择目标路径。

2. Common 配置页

- **Mode:** 选择 8-bits 或者 16-bits 模式；
- **TX_ENABLE:** 选择 MIPI D-PHY TX，使能 TX 配置；

- Clock Enable: 启用或禁用 clock lane;
- Lane 0 Enable: 启用或禁用 data lane 0;
- Lane 1 Enable: 启用或禁用 data lane 1;
- Lane 2 Enable: 启用或禁用 data lane 2;
- Lane 3 Enable: 启用或禁用 data lane 3。

3. TX 专属 PLL 配置部分

- PLL CLKIN Frequency: PLL 输入时钟频率 (19~800 MHz);
- MIPI D-PHY Data Rate: MIPI 单通道速率 (200~3200 Mbps);
- PLL VCO Frequency: PLL VCO 频率提示 (800~1600 MHz), 点击 “Calculate” 按钮会更新提示;
- CLKOUT4 Divider Factor: PLL 输出分频系数 (1~128), clkout4 信号最终输出的频率为 VCO 频率除以本分频系数。

4. 端口显示框

端口显示框图显示当前 IP Core 的配置结果, 如图 4-2 左侧所示。

4.2 MIPI D-PHY RX IP

4.2.1 端口介绍

表 4-2 MIPI D-PHY RX IP 顶层端口

端口	I/O	描述
MIPI 物理接口信号³		
ck_n	inout	时钟通道，差分 n 端。
ck_p	inout	时钟通道，差分 p 端。
d<0~3>_n	inout	数据通道<0~3>，差分 n 端。
d<0~3>_p	inout	数据通道<0~3>，差分 p 端。
时钟与复位信号		
rx_drst_n	input	RX 数字部分复位，低电平有效。
rx_clk_o ⁴	output	字节域时钟（Byte Clock），主要的工作时钟；HS RX 信号大部分同步于该时钟。
HS RX 信号		
hsrx_en_ck	input	时钟通道 HS 接收使能，高电平有效。
hsrx_en_d<0~3>	input	数据通道<0~3> HS 接收使能，高电平有效。
hsrx_odten_ck	input	时钟通道端接电阻使能，高电平有效。
hsrx_odten_d<0~3>	input	数据通道<0~3>端接电阻使能，高电平有效。
d<0~3>ln_hsrxd_vld	output	数据通道<0~3> HS 数据有效指示，高电平有效。
d<0~3>ln_hsrxd[7/15:0]	output	数据通道<0~3> HS 数据输出； 当选择 8-bits 模式位宽为 8，16-bits 模式位宽为 16。
LP RX 信号		
lprx_en_ck	input	时钟通道 LP 接收使能，高电平有效。
di_lprxck_n	output	时钟通道 LP 接收数据输出，n 端。
di_lprxck_p	output	时钟通道 LP 接收数据输出，p 端。
lprx_en_d<0~3>	input	数据通道<0~3> LP 接收使能，高电平有效。
di_lprx<0~3>_n	output	数据通道<0~3> LP 接收数据输出，n 端。
di_lprx<0~3>_p	output	数据通道<0~3> LP 接收数据输出，p 端。
LP TX 信号		
lptxen_lnc	input	时钟通道 LP 发送使能，高电平有效。
do_lptxck_n	input	时钟通道 LP 发送数据输入，n 端。
do_lptxck_p	input	时钟通道 LP 发送数据输入，p 端。
lptxen_ln<0~3>	input	数据通道<0~3> LP 发送使能，高电平有效。

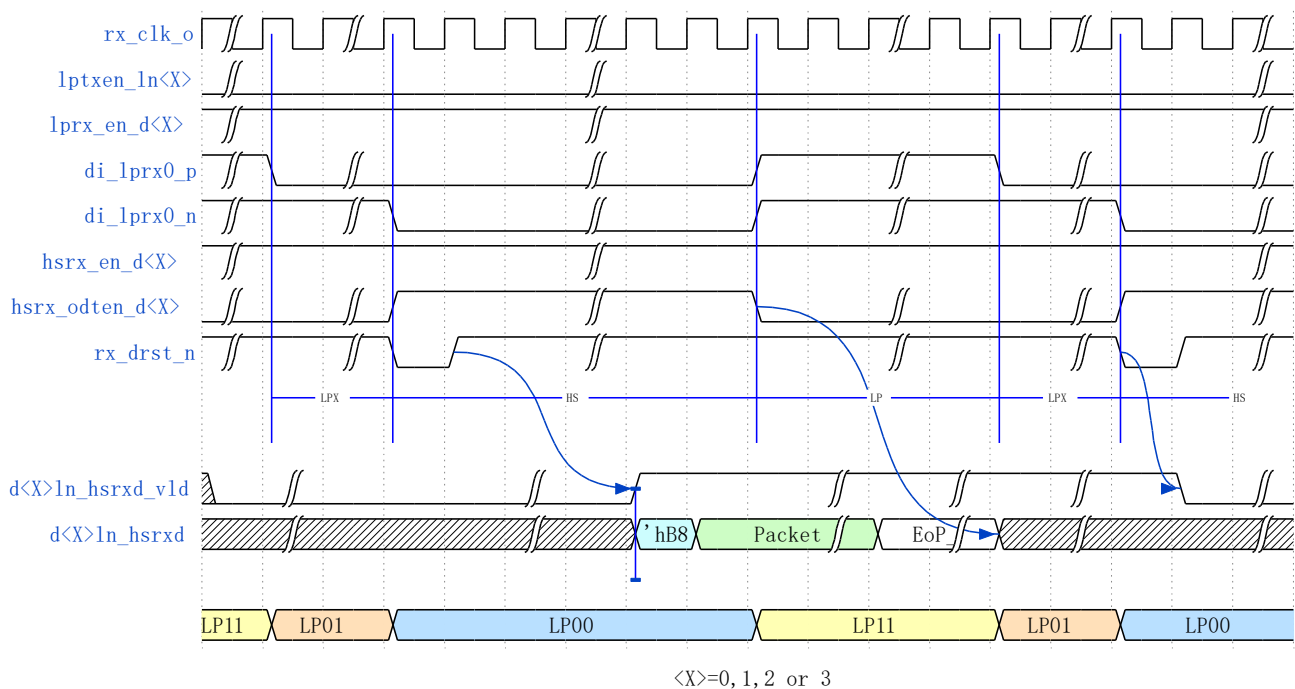
端口	I/O	描述
do_lptx<0~3>_n	input	数据通道<0~3> LP 发送数据输入, n 端。
do_lptx<0~3>_p	input	数据通道<0~3> LP 发送数据输入, p 端。
de-skew 信号⁵		
d<0~3>ln_deskew_req	input	数据通道<0~3> de-skew 请求。
d<0~3>ln_deskew_done	output	数据通道<0~3> de-skew 完成指示。
d<0~3>ln_deskew_error	output	数据通道<0~3> de-skew 错误指示。

注!

- 物理接口直接连接至 MIPI 专属管脚（参见《[UG985, GW5A-25 器件 Pinout 手册](#)》），例化时不需要连接；D-PHY RX 与 D-PHY TX 共用 MIPI 专属管脚。
- 字节时钟由 rx_clk_o 引出，正常情况下其频率为：
 $f_{rx_clk_o} = \langle DPHY \text{ Data Rate} \rangle / \langle 8 \text{ or } 16 \rangle$ 。
- 这些信号仅在使能“DESKEW”选项时存在。

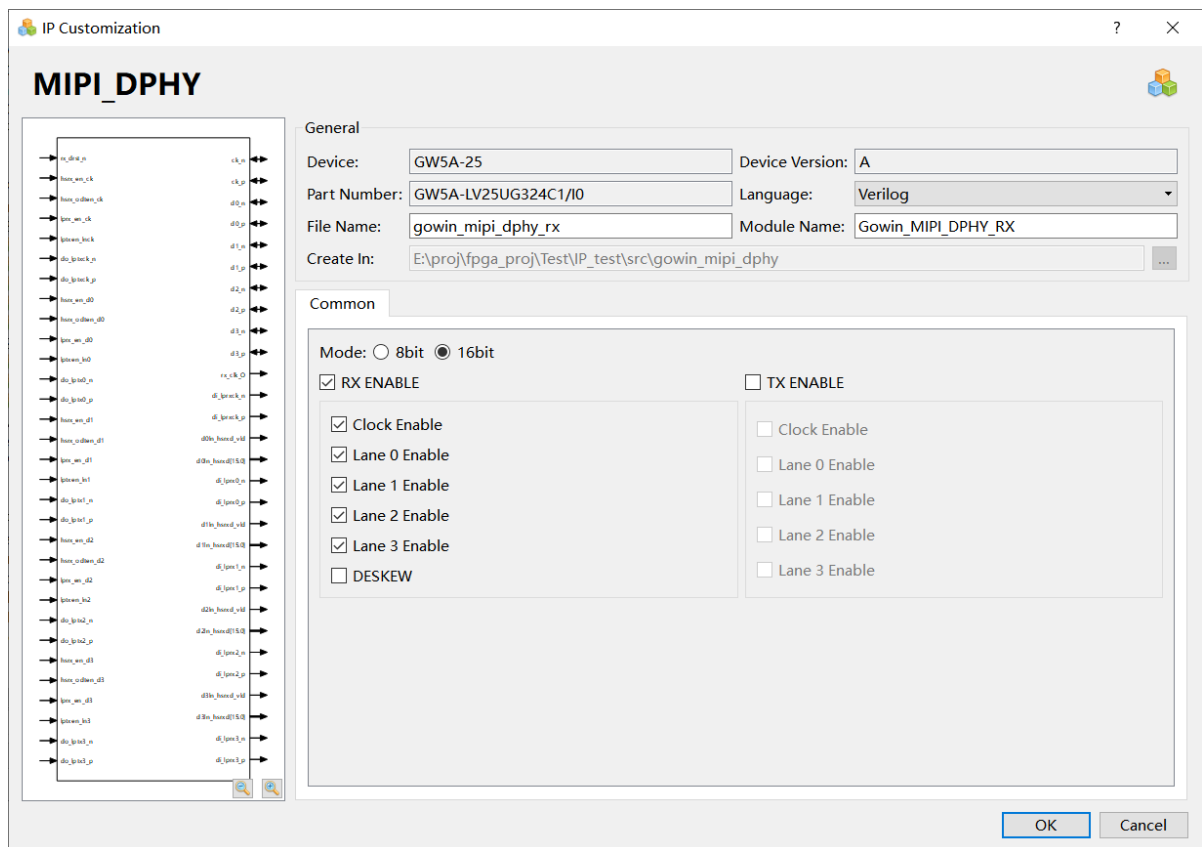
4.2.2 典型时序

图 4-3 MIPI D-PHY RX 典型时序



4.2.3 配置说明

图 4-4 MIPI D-PHY 配置页面 (RX)



1. General 配置框

General 配置框用于配置产生的 IP 设计文件的相关信息。

- **Device:** 显示已配置的 Device 信息；
- **Part Number:** 显示已配置的 Part Number 信息；
- **Language:** 配置产生的 IP 设计文件的硬件描述语言。选择右侧下拉列表框，选择目标语言，支持 Verilog 和 VHDL；
- **Module Name:** 配置产生的 IP 的模块名称。在右侧文本框可重新编辑。Module Name 不能与原语名称相同，若相同，则报出 Error 提示；
- **File Name:** 配置产生的 IP 设计文件的文件名。在右侧文本框可重新编辑文件名称；
- **Create In:** 配置产生的 IP 设计文件的目标路径。可在右侧文本框中重新编辑目标路径，也可通过文本框右侧选择按钮选择目标路径。

2. Common 配置页

- **Mode:** 选择 8-bits 或者 16-bits 模式；
- **RX_ENABLE:** 选择 MIPI D-PHY RX，使能 RX 配置；

- Clock Enable: 启用或禁用 clock lane;
- Lane 0 Enable: 启用或禁用 data lane 0;
- Lane 1 Enable: 启用或禁用 data lane 1;
- Lane 2 Enable: 启用或禁用 data lane 2;
- Lane 3 Enable: 启用或禁用 data lane 3;
- DESKEW: 启用或禁用 de-skew 信号。

3. 端口显示框

端口显示框图显示当前 IP Core 的配置结果，如图 4-4 左侧所示。

附录 **A** MIPI D-PHY 速率表

表 A-1 MIPI D-PHY 速率 (晨熙® (Arora)家族)

Resolution	Frame Rate (HZ)	Bits Per Pixel (Bits)	Total Data Rate (Mbps)	Lane Number	Per Lane Bit Rate (Mbps)	Recommended Gearing Ratio (1:N)	Per Lane Fabric Clock (MHz)
FHD 1920x1080p (2200x1125)	60	8	1188	2	594.0	8	74.25
		10	1485	2	742.5	8	92.81
		16	2376	2	1188.0	8	148.50
		18	2673	4	668.3	8	83.53
		24	3564	4	891.0	8	111.38
	120	8	2376	2	1188.0	8	148.50
		10	2970	4	742.5	8	92.81
		16	4752	4	1188.0	8	148.50
		18	5346	8	668.3	8	83.53
		24	7128	8	891.0	8	111.38
UHD 3840x2160p (4400x2250)	30	8	2376	4	594.0	8	74.25
		10	2970	4	742.5	8	92.81
		16	4752	4	1188.0	8	148.50
		18	5346	8	668.3	8	83.53
		24	7128	8	891.0	8	111.38
	60	8	4752	4	1188.0	8	148.50
		10	5940	8	742.5	8	92.81
		16	9504	8	1188.0	8	148.50

